

СХЕМА КРАНКА-НИКОЛСОНА

Рассмотрим начально-краевую задачу для уравнения теплопроводности:

$$\frac{\partial u}{\partial t} = a^2 \frac{\partial^2 u}{\partial x^2}, \quad 0 < x < l, \quad t > 0. \quad (6.1)$$

Краевые условия

$$u(0, t) = \varphi_1(t), \quad x = 0, \quad t > 0, \quad (6.2)$$

$$u(l, t) = \varphi_2(t), \quad x = l, \quad t > 0, \quad (6.3)$$

Начальное условие

$$u(x, 0) = \psi(x), \quad 0 \leq x \leq l, \quad t = 0, \quad (6.4)$$

1. Явная конечно-разностная схема для этой задачи может быть записана в виде

$$\begin{aligned} \frac{u_j^{k+1} - u_j^k}{\tau} &= a^2 \frac{u_{j+1}^k - 2u_j^k + u_{j-1}^k}{h^2} + O(\tau + h^2), \\ j &= \overline{1, N-1}, \quad k = \overline{0, K-1}; \\ u_0^{k+1} &= \varphi_1(t^{k+1}), \quad u_N^{k+1} = \varphi_2(t^{k+1}), \quad k = \overline{0, K}; \\ u_j^0 &= \psi(x_j), \quad j = \overline{0, N}. \end{aligned} \quad (6.28)$$

Эта схема, записанная в форме

$$\begin{aligned} u_j^{k+1} &= \sigma \cdot u_{j+1}^k + (1 - 2\sigma) u_j^k + \sigma \cdot u_{j-1}^k, \quad \sigma = \frac{a^2 \tau}{h^2}, \\ j &= \overline{1, N-1}, \quad k = 0, 1, 2, \dots, \end{aligned} \quad (6.107)$$

обладает тем *достоинством*, что решение на верхнем временном слое t^{k+1} получается сразу (без решения СЛАУ) по значениям сеточной функции на нижнем временном слое t^k , где решение известно (при $k = 0$ значения сеточной функции формируются из начального условия (6.4.)). Но эта же схема обладает существенным *недостатком*, поскольку она является условно устойчивой с условием (6.54), накладываемым на сеточные характеристики τ и h .

2. Неявная конечно разностная схема для этой задачи может быть записана в виде

$$\begin{aligned}
\frac{u_j^{k+1} - u_j^k}{\tau} &= a^2 \frac{u_{j+1}^{k+1} - 2u_j^{k+1} + u_{j-1}^{k+1}}{h^2} + O(\tau + h^2), \\
j &= \overline{1, N-1}, \quad k = \overline{0, K-1}; \\
u_0^{k+1} &= \varphi_1(t^{k+1}), \quad u_N^{k+1} = \varphi_2(t^{k+1}), \quad k = \overline{0, K-1}; \\
u_j^0 &= \psi(x_j), \quad j = \overline{0, N}.
\end{aligned} \tag{6.30}$$

Эта схема, записанная в форме

$$-a_j u_{j-1}^{k+1} + b_j u_j^{k+1} - c_j u_{j+1}^{k+1} = d_j, \quad j = \overline{1, N-1}, \quad k = 0, 1, 2, \dots, \tag{6.108}$$

приводит к необходимости решать СЛАУ, но зато эта схема абсолютно устойчива.

Проанализируем схемы (6.107), (6.108). Пусть точное решение, которое неизвестно, возрастает по времени, т.е. $u_j^{k+1} > u_j^k$. Тогда, в соответствии с явной схемой (6.107), разностное решение будет заниженным по сравнению с точным, так как u_j^{k+1} определяется по меньшим значениям сеточной функции на предыдущем временном слое, поскольку решение является возрастающим по времени.

Для неявной схемы (6.108) на возрастающем решении, наоборот, решение завышено по сравнению с точным, поскольку оно определяется по значениям сеточной функции на верхнем временном слое.

На убывающем решении картина изменяется противоположным образом: явная конечно-разностная схема завышает решения, а неявная — занижает (см. рис. 6.7).

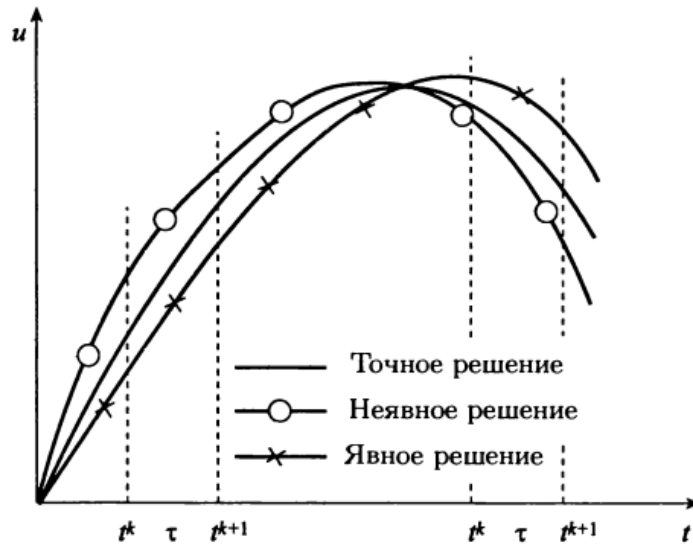


Рис. 6.7. Двусторонний метод аппроксимации

На основе этого анализа возникла идея о построении более точной неявно-явной конечно-разностной схемы с весами при пространственных конечно-разностных операторах, причем при измельчении шагов τ и h точное (неизвестное) решение может быть взято в «вилку» сколь угодно узкую, так как если явная и неявная схемы аппроксимируют дифференциальную задачу и эти схемы устойчивы, то при стремлении сеточных характеристик τ и h к нулю решения по явной и неявной схемам стремятся к точному решению с разных сторон.

Рассмотрим неявно-явную схему с весами для простейшего уравнения теплопроводности:

$$\frac{u_j^{k+1} - u_j^k}{\tau} = \theta a^2 \frac{u_{j+1}^{k+1} - 2u_j^{k+1} + u_{j-1}^{k+1}}{h^2} + (1 - \theta) a^2 \frac{u_{j+1}^k - 2u_j^k + u_{j-1}^k}{h^2}, \quad (6.109)$$

где θ — вес неявной части конечно-разностной схемы, $1 - \theta$ — вес для явной части, причем $0 \leq \theta \leq 1$. При $\theta = 1$ имеем полностью неявную схему, при $\theta = 0$ — полностью явную схему, и при $\theta = 1/2$ — схему *Кранка-Николсона*.

В соответствии с гармоническим анализом для схемы (6.109) получаем неравенство

$$\left| \frac{\eta_{k+1}}{\eta_k} \right| < \left| \frac{1 - 4\sigma(1 - \theta)}{1 + 4\sigma\theta} \right| \leq 1,$$

откуда

$$-1 \leq \frac{1 - 4\sigma(1 - \theta)}{1 + 4\sigma\theta} \leq +1, \quad (6.110)$$

причем правое неравенство выполнено всегда.

Левое неравенство имеет место для любых значений σ , если $1/2 \leq \theta \leq 1$. Если же вес θ лежит в пределах $0 \leq \theta < 1/2$, то между σ и θ из левого неравенства устанавливается связь

$$\sigma \leq \frac{1}{2 \cdot (1 - 2\theta)}, \quad 0 \leq \theta < 1/2, \quad (6.111)$$

являющаяся условием устойчивости неявно-явной схемы с весами (6.109), когда вес находится в пределах $0 \leq \theta < 1/2$.

Таким образом, неявно-явная схема с весами (6.109) абсолютно устойчива при $1/2 \leq \theta \leq 1$ и условно устойчива с условием (6.111) при $0 \leq \theta < 1/2$.

Рассмотрим порядок аппроксимации неявно-явной схемы с весами (6.109), для чего разложим в ряд Тейлора в окрестности узла (x_j, t^k) на точном решении значения сеточных функций u_j^{k+1} по переменной t , $u_{j\pm 1}^k$, $u_{j\pm 1}^{k+1}$ по переменной x и полученные разложения подставим в (6.109):

$$\begin{aligned} \frac{\partial u}{\partial t} \Big|_j^k + \frac{\partial^2 u}{\partial t^2} \Big|_j^k \frac{\tau}{2} + O(\tau^2) = \\ = \theta \cdot a^2 \frac{\partial^2}{\partial x^2} \left[u_j^k + \frac{\partial u}{\partial t} \Big|_j^k \cdot \tau + O(\tau^2) \right] + \\ + (1 - \theta) a^2 \frac{\partial^2 u}{\partial x^2} \Big|_j^k + O(h^2). \end{aligned}$$

В этом выражении дифференциальный оператор $\frac{\partial^2}{\partial x^2}$ от квадратной скобки в соответствии с дифференциальным уравнением (6.1) равен дифференциальному оператору $\frac{1}{a^2} \frac{\partial}{\partial t}$, в соответствии с чем вышеприведенное равенство приобретает вид

$$\begin{aligned} \frac{\partial u}{\partial t} \Big|_j^k + \frac{\partial^2 u}{\partial t^2} \Big|_j^k \frac{\tau}{2} + O(\tau^2) = \\ = \theta a^2 \frac{\partial^2 u}{\partial x^2} \Big|_j^k + \theta \frac{\partial^2 u}{\partial t^2} \Big|_j^k \cdot \tau + a^2 \frac{\partial^2 u}{\partial x^2} \Big|_j^k - \\ - \theta a^2 \frac{\partial^2 u}{\partial x^2} \Big|_j^k + O(\tau^2 + h^2). \end{aligned}$$

После упрощения получаем

$$\left(\frac{\partial u}{\partial t} - a^2 \frac{\partial^2 u}{\partial x^2} \right)_j^k = \left(\theta - 1/2 \right) \frac{\partial^2 u}{\partial t^2} \Big|_j^k \cdot \tau + O(\tau^2 + h^2),$$

откуда видно, что для схемы Кранка–Николсона ($\theta = 1/2$) порядок аппроксимации схемы (6.109) составляет $O(\tau^2 + h^2)$, т. е. на один порядок по времени выше, чем для обычных явных или неявных схем. Таким образом, схема Кранка–Николсона (6.109) при $\theta = 1/2$ абсолютно устойчива и имеет второй порядок аппроксимации по времени и пространственной переменной x .

Аналогично схема Кранка–Николсона записывается и исследуется для других нестационарных уравнений, например для волнового уравнения.